

北見工業大学 正員 奥村 勇

1. まえがき 厚肉円筒殻の解析には、古くから、種々の理論及び解法が見受けられ、また、それらの理論の精密性及び通用性が、3次元弾性論によって検証されてはいる。しかしながら、それらの理論のほとんどには、この中で最も厳密な近似仮定が含まれ、弾性論に基づいた厳密な解法ではない。

著者は、厚板の解析に有効と思われる一厚板理論をすでに提案したが、今回は、その厚板理論と同様な考え方で、境界条件を満たすための同次解と荷重条件を満たすための特殊解とを組合せた一解法により、有限厚肉円筒殻の軸対称応力解析を行ったので報告する。本報告で用いた一解法は、なんらの厳密な近似仮定も含まず、同次解及び特殊解が、共に、3次元弾性論に基づいた厳密な弾性解より構成され、有限厚肉円筒殻の端面の境界条件を満たすために、Saint-Venantの原理が用いられているだけの弾性論に基づいた精度の高い解法である。

2. 3次元弾性解 円柱座標 (r, θ, z) における3次元弾性問題の解は、次のようになされる。

$$2G\psi_r = \frac{\partial}{\partial r} \left\{ \phi_0 + r \frac{\partial \phi_1}{\partial r} + z \frac{\partial \phi_2}{\partial z} - 4(1-\nu) \phi_3 \right\} + \frac{2}{r} \frac{\partial \phi_4}{\partial \theta} \quad \dots \dots (1.a)$$

$$2G\psi_\theta = \frac{1}{r} \frac{\partial}{\partial \theta} \left\{ \phi_0 + r \frac{\partial \phi_1}{\partial r} + z \frac{\partial \phi_2}{\partial z} - 4(1-\nu) \phi_3 \right\} - 2 \frac{\partial \phi_4}{\partial r} \quad \dots \dots (1.b)$$

$$2G\psi_z = \frac{\partial}{\partial z} \left\{ \phi_0 + r \frac{\partial \phi_1}{\partial r} + z \frac{\partial \phi_2}{\partial z} - 4(1-\nu) \phi_3 \right\} \quad \dots \dots (1.c)$$

$$\text{ここで, } \nabla^2 \phi_0 = 0, \nabla^2 \phi_1 = 0, \nabla^2 \phi_2 = 0, \nabla^2 \phi_3 = 0 \quad \dots \dots (2.a \sim d)$$

3. 同次解 図-1に示した有限厚肉円筒殻の境界条件を満たすための同次解は、曲面厚板としての理論的な解が得にくいため、ここでは、3次元弾性解より求めることにし、軸対称問題であることを考慮して、式 (1.a) から式 (1.c) に含まれる変位ポテンシャルを次のようにして置く。

$$\begin{aligned} \phi_{0,3} &= T_0^{(0)} \left(\frac{z^2}{2} r^2 - \frac{z^4}{6} - \frac{r^4}{16} \right) + T_0^{(1)} \left\{ z^2 r^2 \log \frac{r}{z} - \frac{z^4}{3} \left(\log \frac{r}{z} + 1 \right) + \right. \\ &\quad \left. - \frac{1}{8} (r^4 \log \frac{r}{z} - \frac{r^4}{2}) \right\} + N_0^{(0)} \left(\frac{z^2}{2} r^2 - \frac{z^6}{15} - \frac{3}{8} z^2 r^4 + \frac{r^6}{48} \right) + \\ &\quad + N_0^{(1)} \left\{ z^4 r^2 \log \frac{r}{z} - \frac{2z^6}{15} \left(\log \frac{r}{z} + 1 \right) - \frac{3z^2}{4} (r^4 \log \frac{r}{z} - \frac{r^4}{2}) + \frac{1}{24} (r^6 \log \frac{r}{z} - \frac{5}{6} r^6) \right\} \quad \dots \dots (3.a) \\ \phi_3 &= R_0^{(0)} \left(\frac{z^2}{2} r^2 - \frac{z^4}{6} - \frac{r^4}{16} \right) + R_0^{(1)} \left\{ z^2 r^2 \log \frac{r}{z} - \frac{z^4}{3} \left(\log \frac{r}{z} + 1 \right) - \frac{1}{8} (r^4 \log \frac{r}{z} - \frac{r^4}{2}) \right\} + O_0^{(0)} \left\{ \frac{z^4}{2} r^2 + \right. \\ &\quad \left. - \frac{z^6}{15} - \frac{3}{8} z^2 r^4 + \frac{r^6}{48} \right\} + O_0^{(1)} \left\{ z^4 r^2 \log \frac{r}{z} - \frac{2z^6}{15} \left(\log \frac{r}{z} + 1 \right) - \frac{3z^2}{4} (r^4 \log \frac{r}{z} - \frac{r^4}{2}) + \frac{1}{24} (r^6 \log \frac{r}{z} + \right. \\ &\quad \left. - \frac{5}{6} r^6) \right\} \quad \dots \dots (3.b) \end{aligned}$$

ここで、 $T_0^{(0)}$ から $O_0^{(1)}$ は、境界条件によって定められるべき未定定数である。

4. 特殊解 荷重条件を満たすための特殊解として、式 (1.a) から式 (1.c) を用い、変位ポテンシャルを次のようになされる。

$$\phi_{0,1} = \sum_{n=1}^{\infty} \cos \beta_n z \left\{ D_n^{(0)} I_0(\beta_n r) + D_n^{(1)} K_0(\beta_n r) \right\}, \quad \phi_1 = \sum_{n=1}^{\infty} \cos \beta_n z \left\{ F_n^{(0)} I_0(\beta_n r) + F_n^{(1)} K_0(\beta_n r) \right\} \quad \dots \dots (4.a, b)$$

ここで、 $D_n^{(0)}$ から $F_n^{(1)}$ は、荷重条件によって定められるべき未定定数であり、 $\beta_n = n\pi/l$ ($n=1, 2, \dots$) である。

5. 端面条件 図-1に示した帶状外圧を受ける有限厚肉円筒殻の境界条件は、次のとおりである。

$r = a$ において、 $\sigma_{rr} = 0, \sigma_{rz} = 0 \dots \dots (5.a)$, $r = c$ において、 $\sigma_{rr} = -p(z), \sigma_{rz} = 0 \dots \dots (5.b)$

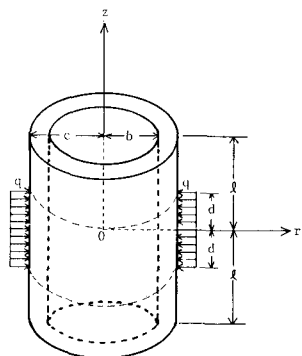


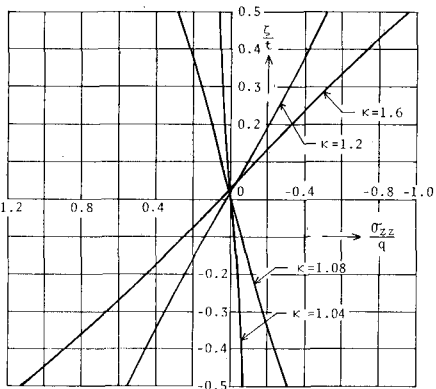
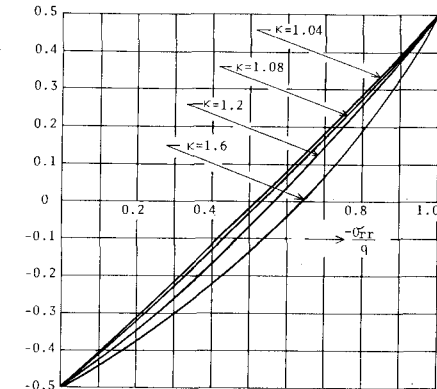
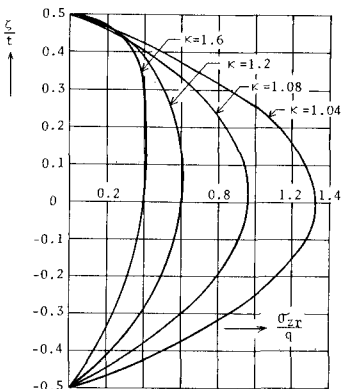
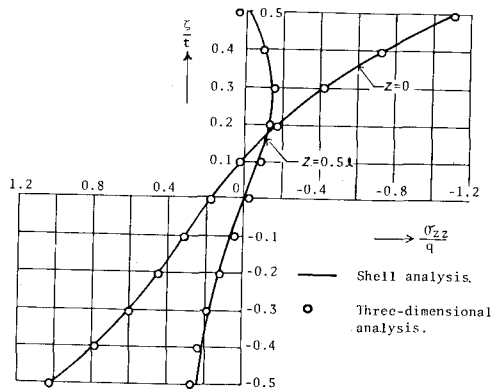
図-1 帯状外圧を受ける
有限厚肉円筒殻

$$z = \pm l \text{において}, T_z = 0, Q_z = 0, M_z = 0 \dots \dots \quad \dots \dots \quad (5.c)$$

ここで、 T_z 、 Q_z 及び M_z は、それぞれ軸力、せん断力及び曲げモーメントであり、また、 $P(z)$ は、 $-d < z < d$ において 0 と定義された荷重の関数である。

6. 解析方法 同次解及ぶ特殊解の変位ポテンシャルをそれぞれ式(1.a) 及び式(1.c)に代入し、変位成分及ぶ応力成分を求め、更に、合応力及び合モーメントを求めて、式(5.a)から式(5.c)の境界条件を課して式を組み立ててから、せん断応力 σ_{xy} に関する境界条件は、厳密に満たす様にする好都合である。

7. 数値計算例 図-2から図-4には、 $l/b = 3.0$ 、 $d/l = 0.3$ 及びアラン比 $\nu = 0.25$ としてときの種々の $\kappa = c/b$ に対する垂直応力 σ_{zz} 、 σ_{rr} 及びせん断応力 σ_{zx} の肉厚方向の分布を示した。これらの図によつて用いられた記号を及ぼすは、それぞれ、 $z = r - (b + c)/2$ 及び $t = c - b$ である。また、図-5には、極めて短く且つ厚い有限厚肉円筒殻に関する σ_{zz} の3次元解析による値との比較を示した。

図-2 σ_{zz} の分布図-3 σ_{rr} の分布図-4 σ_{zx} の分布

$$(\kappa = \frac{c}{b} = 2.0, \frac{l}{b} = 1.5, \frac{d}{\lambda} = 0.3, \nu = 0.25.)$$

図-5 σ_{zz} の3次元解析との比較

8. 結論 境界条件を Saint-Venant の原理に基づいて課していくため、有限厚肉円筒殻の端面付近における値は、不正確になるが、端面を離れた内部では、変位成分及ぶ応力成分共に、3次元解析による値と数値2～3桁一致した極めて精度の高い解法になつてゐる。なんらの般近似仮定を含まない厳密な弾性論に基づいた解法であることに注目すれば、本報告で提案した一解法は、有限厚肉円筒殻の有用な一解法と考へられる。